

TFT용을 위한 CaF_2 박막의 전기적, 구조적 특성

김도영, 최석원, 이준신
성균관대학교 전기, 전자 및 컴퓨터공학부

Electrical and Structural Properties of CaF_2 Film for TFT Applications

Do Young Kim, Suk Won Choi, Junsin Yi
School of Electrical and Computer Engineering, Sungkyunkwan Univ.

Abstract - TFT의 게이트 절연막으로 사용되는 절연체는 우수한 절연특성과 낮은 계면포획전하밀도(D_{it})를 요구한다. 이에 본 연구에서는 우수한 절연특성을 가지며, 격자상수가 Si과 유사한 CaF_2 의 증착 특성을 연구하였다. 진공증착법을 이용하여 p형 Si(100) 기판위에 CaF_2 의 기판온도, 두께를 변화시켜 전기적, 구조적 특성을 평가하였다. 또한 Si 기판에 방향에 따른 박막의 특성을 조사하였다. 구조적 특성분석으로부터 Si(100) 기판의 경우 CaF_2 는 (200)방향으로 주도적인 성장을 하였으며 기판온도를 상승시킴에 따라 (220)방향으로도 성장을 하는 것으로 나타났다. 열처리 전 후의 구조적 특성은 SEM을 통해서 확인 할 수 있었다. 열처리 전후의 특성 변화로부터 저온(100°C 이하)에서는 기판과의 성장방향과 동일하였으며 고온(200°C 이상)에서는 기판방향과는 다른 방향 성장 결과를 얻었다. 전기적 특성평가를 위하여 C-V, I-V 특성을 평가하였다. C-V 특성으로부터 Si(100) 기판의 온도가 100°C, 1455Å 두께로 증착한 CaF_2 박막의 D_{it} 는 $1.8 \times 10^{11} \text{ cm}^{-1} \text{ eV}^{-1}$ 로 낮은 값을 가지고 있었으며 0.1MV/cm에서 누설전류밀도가 10^{-8} A/cm^2 이었다.

1. 서 론

SOI 소자[1]에 응용되어 왔던 fluoride 박막은 높은 복전계와 고온 안정성과 낮은 격자 부정합 등 기존의 산화물계 절연막에 비하여 계면 특성이 우수하다. 이러한 fluoride 박막의 특성을 표1에 나타내었다.

표 1. 다양한 Fluoride 박막의 전기적, 구조적 특성[2]

물질	결정구조	유전상수	격자상수(nm)	Si 대 한 격자부정합(%)	열팽창계수(°C)
Si	Cubic	11.7	0.54301	-	3.8×10^{-6}
CaF_2	Cubic	6.81	0.5464	0.6	19×10^{-6}
MgF_2	Tetragonal	5.45	a=0.462 c=0.305	-	8.9×10^{-6}
SrF_2	Cubic	6.50	0.580	6.8	18×10^{-6}
BaF_2	Cubic	7.32	0.620	14	18×10^{-6}

특히 fluoride 물질 중 CaF_2 는 Si과의 격자 부정합 적으며 저온에서도 결정성장이 용이한 물질로 알려져 있다. 본 연구에서는 CaF_2 박막을 a-Si:H TFT의 절연으로 이용하기 위한 기초연구인 MIS 소자특성을 연구하였다. 우수한 a-Si:H TFT 게이트 절연막은 다음과 같은 몇 가지 조건을 갖추어야 한다. 1) 낮은 계면 전하포획 밀도(D_{it}), 2) 높은 항복전계(E_{br}), 3) 높은 I_{on}/I_{off} 비율은 격자 부정합, 5) 박막성장의 재현성, 6) TFT 구동 중의 안정성, 7) 박막의 균일성. 특히 기존의 a-Si:H 막은 수소를 10wt% 이상을 포함하고 있기 때문에 산화물계 절연막과 실리콘 박막 계면에서 O-H 결합으로 계면포획전하 밀도를 증가시키며 이러한 계면 밀도 증가현

상은 산소를 포함하고 있는 절연막인 SiO_2 , Ta_2O_5 , Al_2O_3 , SiO_x 등에서 a-Si:H의 박막과의 계면에 유동 수소 원자의 의한 O-H결합 증가로 계면포획전하의 밀도를 증가시켜 높은 누설전류를 야기하여 소자의 동작에 문제점을 야기하게 된다. 따라서 본 연구에서는 fluoride 박막을 이용하여 이러한 문제점을 극복하고자 한다. 특히 CaF_2 의 경우 Si과의 격자 부정합율이 0.6%이고 우수한 절연물질[3]로 알려져 있으며 낮은 계면포획전하의 밀도를 가지므로 기존의 절연막에 나타나는 문제점을 해결할 것으로 기대된다.

2. 본 론

2.1 실험방법

MIS 구조의 소자는 (100)면의 p-type Si(10~20Ω)의 기판을 표면 오염물을 제거하기 위하여 초음파 세척 후 RCA법[4]으로 기판의 금속유기물, 산화물을 제거하였다. 세척된 기판의 후면에 Ohmic 접합형성을 위하여 2000A 정도의 Al을 증착하고 열처리로에서 표면 반응을 최소화하기 위하여 N_2 가스를 2.5lpm 정도로 흘려주면서 620°C에서 15분간 열처리하였다. 자연 산화막을 제거하기 위하여 BHF에 수초간 담근 후 DI water로 세척, N 가스로 건조시켰다. 연속공정으로 열기상증착기에서 CaF_2 를 증착하였으며 증착시 압력은 10^{-6} Torr이었고 CaF_2 의 금격한 증착을 억제하고 균일한 박막제조를 위하여 baffled furnace 형태의 boat가 이용되었다. C 원료(Cerac Co.)의 크기는 3~5mm였으며 순도 99.95%였다. CaF_2 박막 증착 후 전기적 측정을 위하여 다양한 면적의 Al전극을 600~700A 증착하였고 A wire를 이용하여 측정하였다.

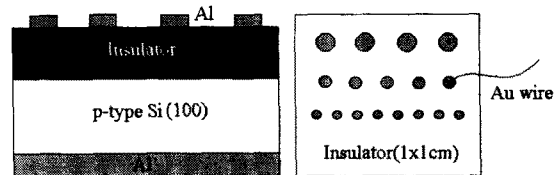


그림 1. MIS 소자의 단면도와 평면도.

그림 1에 본 연구에서 제작된 MIS 소자의 모식도이다. 계면상태와 박막의 절연 특성 평가를 위하여 I-V, C-V, C-V-f등의 전기적 측정을 하였으며 Keithley 610 Fluke 5100B, Boonton 7200을 컴퓨터와 연결하여 조사하였다. 또한 박막의 표면특성이나 구조적 특성을 평가하기 위하여 SEM과 XRD분석을 하였으며 박막의 화학적 조성비를 EDX를 통하여 조사하였다.

2.2 결과 및 토론

MIS 소자를 제작하기 위해서 사용된 (100) 기판은 0~15Ωcm의 비저항을 가지고 있었으며 Irwin 곡선[5]으로부터 계산된 도핑농도는 10^{15} cm^{-3} 이었다. 증착온도에

따른 소자의 전기적 특성을 조사하기 위하여 1MHz의 주파수에서 인가전압을 증가시킴에 따른 정전용량을 측정하였다.

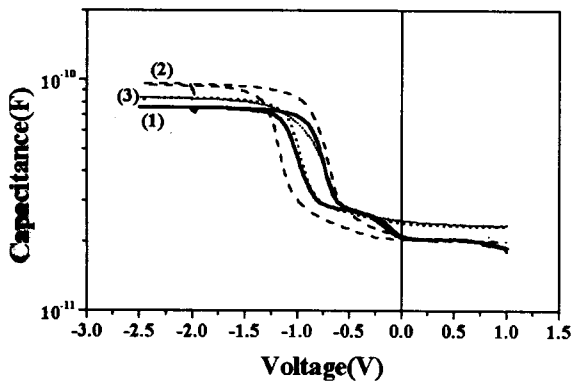


그림 2. 증착온도에 따른 MIS 소자의 C-V 곡선
(1) room (2) 100°C (3) 200°C.

그림 2의 HF C-V 측정으로부터 구해진 ϵ_r 은 MIM 소자에서 구해진 값보다 작은 4.11~5.0정도였다. 이는 박막의 두께와 상부전극면적의 오차율을 고려할 때 bulk의 CaF₂와 유사한 값을 가진다고 할 수 있다. 또한 실온에서 증착된 CaF₂ 박막은 반전영역이 되는 전압직전에 정전용량의 감소는 낮은 박막증착 온도는 박막내부의 가전자대에 영향을 주는 D_{it} 때문이라 사료된다. 그러나 온도가 증가함에 따라 이러한 가전자대 효과가 사라지는 것으로 나타났다. 시료에 인가전압을 음(-)→양(+)으로 양(+)→음(-)으로 인가함에 따라서 C-V 곡선은 반 시계 방향으로 이력특성이 존재하였다. 이러한 특성은 기존의 강유전체[6]에서 나타나는 시계방향의 분극현상과는 달리 CaF₂ 절연막에 존재하는 trap이나 mobile ion에 야기하는 전하주입현상이라 사료된다. 이러한 전하주입현상은 증착온도가 200°C 이상에서 감소하는 경향을 나타내었다.

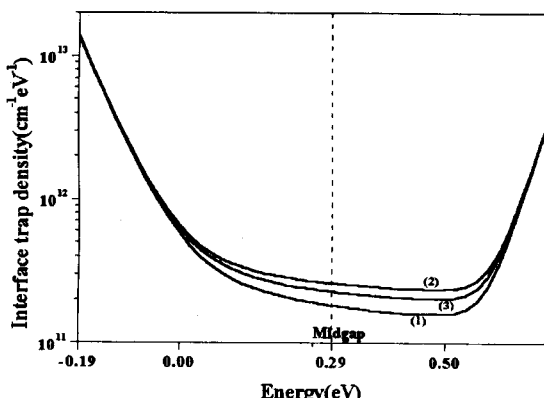


그림 3. CaF₂/p-Si(100) MIS 소자의 증착온도에 따른 D_{it}
(1) 100°C (2) 200°C (3) 300°C

[식 1]은 고 주파수 C-V측정으로 계산되는 D_{it} 계산식 [7]이다. 그림 3은 음(-)→양(+)으로 전계를 인가한 경우의 C-V 측정으로부터 계산된 midgap(=0.29eV) 주변의 D_{it} 를 나타낸 그림이다.

$$D_{it} = \frac{C_i}{q} [(d\Psi_s/dV)^{-1} - 1] - \frac{C_D}{q} \text{ cm}^{-1}\text{eV}^{-1} \quad [\text{식 } 1]$$

이로부터 계산된 midgap에서의 D_{it} 는 100°C에서 1500A 증착한 시료의 경우 최소값인 $1.8 \times 10^{11} \text{ cm}^{-1}\text{eV}^{-1}$ 이었으며

온도가 증가함에 따라 다소 증가하였다. D_{it} 계산으로부터 기존의 산화막이나 질화막에서 계산되는 높은 D_{it} ($> 10^{12} \text{ cm}^{-1}\text{eV}^{-1}$)값에 비하여 향상되었으며 이러한 CaF₂의 낮은 D_{it} 의 원인은 후에 XRD 결정성 특성과 논의 될 것이다. MIS소자의 전류밀도-선전압(J-E) 측정으로부터 역방향에서 나타나는 항복전계(E_{br})를 구할 수 있었다.

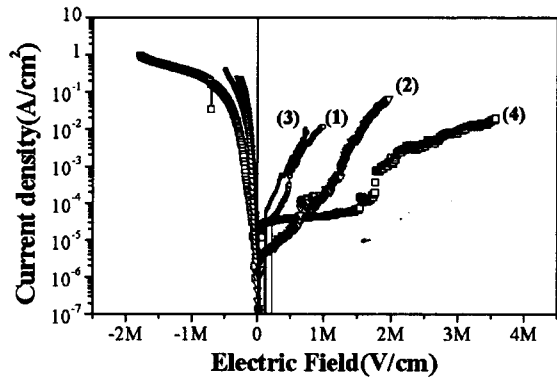


그림 4. 증착온도에 따른 CaF₂ MIS 소자의 J-E 특성
(1) R. T (2) 100°C (3) 200°C (4) 300°C.

그림 4는 증착온도에 따른 J-E 곡선으로서 CaF₂ 박막 성장 온도가 증가함에 따라서 MIS 소자는 이상적인 다이오드 곡선에 접근하고 있었으며 동시에 E_{br} 값도 증가하고 있었다. 200°C 이하의 증착온도에서 제작된 MIS 소자의 E_{br}은 0.6MV/cm이하의 값을 가지고 있으며 diode 특성도 우수하지 못하였다. 그러나 300°C에서 증착된 소자의 E_{br}은 1.7MV/cm에서 전류밀도 $1.9 \times 10^{-4} \text{ A/cm}^2$ 이었으며 E_{br}이 낮은 소자의 경우 평등전계 값은 음(-)의 전계방향으로 이동됨과 동시에 낮은 전류밀도 ($< 10^{-11} \text{ A/cm}^2$)를 가지고 있었다. 이와는 반대로 높은 E_{br}을 가지는 소자들은 0V의 평등전계 값을 가지며 다소 높은 전류밀도 ($< 10^{-6} \text{ A/cm}^2$)의 특성을 나타내었다. 이로부터 300°C 이상의 기판온도는 양질의 MIS diode 특성을 지니며 다소 높은 역방향의 누설전류를 가지고 있으며 300°C 이하에서 증착된 소자는 낮은 누설전류를 가지고거나 낮은 E_{br}이 문제시된다. 이는 증착시 기판에 주어지는 열에너지는 CaF₂ 박막의 결함을 감소시켜 높은 E_{br}을 얻을 수 있으나 이온 결합을 하고 있는 CaF₂ 박막내부의 mobile ion을 활성화 시켜 ionic conduction 전도기구에 의한 결과라고 사료된다. 또한 일정한 간격으로 증가시킨 전계를 단일한 시료에 반복적으로 가함에 따라서 누설전류는 증가하였으며 최종적으로 diode 소자특성을 잃는 것으로 조사되었다. 표 2에 MIS 소자의 전기적 특성을 값을 나타내었다.

표 2. 증착온도에 따른 MIS 소자의 전기적 특성.

	C _i (Farad)	ϵ_r	E _{br} (MV/cm)	D _{it} (cm ⁻¹ eV ⁻¹)
room	7.59×10^{-11}	2.79	0.21	2.1×10^{11}
100°C	9.61×10^{-11}	4.11	0.64	1.8×10^{11}
200°C	9.04×10^{-11}	3.94	0.11	2.6×10^{11}
300°C	8.35×10^{-11}	2.71	1.7	2.2×10^{11}

증착온도에 따른 XRD 결정성 특성은 아래의 그림 5에서 나타내는 것과 같이 온도가 증가함에 따라 CaF₂ 박막의 결정성장 방향은 실온에서 증착한 시료의 경우 (200)면에서 주도적인 성장을 시작하여 기판의 온도가

증가함에 따라 (111), (220) 방향으로 결정성장 면이 변하고 있음을 알 수 있다. 증착 시 기판의 온도가 30 0°C인 시료의 경우 (111)면 방향의 FWHM=0.22 이었으며 (220)면의 FWHM=0.34로 200°C에서 증착한 시료의 (111)면 방향의 FWHM=0.43에 비하여 감소하였으며 (220)면의 FWHM = 0.32에 비하여 증가하는 것으로 보아 300°C 이상의 높은 온도에서는 CaF₂ (111) 방향의 단결정 성장이 가능할 것이라 사료된다.

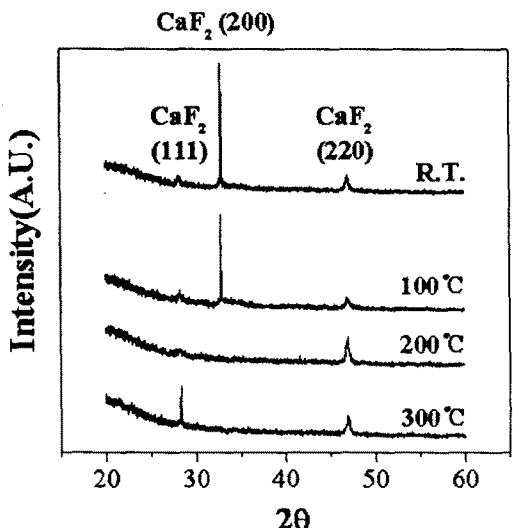


그림 5. 기판증착 온도에 따른 XRD 곡선

Cohen법[8]으로 계산된 시료의 격자상수는 아래의 표 3과 같이 계산되었다. 증착온도가 200°C 이상의 시료에서 격자부정합은 감소하는 경향을 보였으며 낮은 격자부정합은 위의 D_{it} 분석에서 나타나는 것과 같이 6%이하의 격자부정합은 $3 \times 10^{11} \text{ cm}^{-1} \text{ eV}^{-1}$ 이하의 D_{it}를 달성하는 소로 사료된다.

표 3. 증착온도에 따른 격자상수 및 격자 부정합

증착온도	격자상수(Å)	격자부정합(%)
R.T.	5.64	3.8
100°C	5.75	5.9
200°C	5.47	0.74
300°C	5.48	0.86

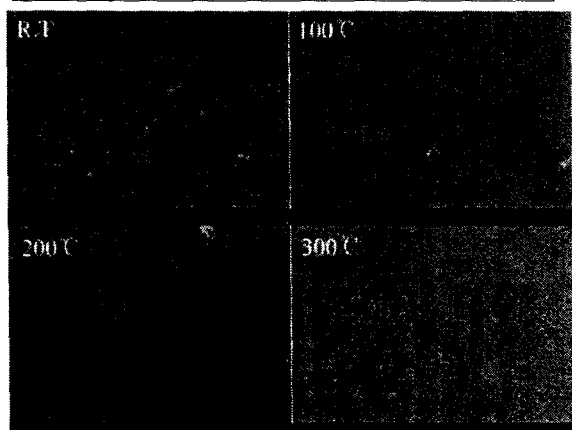


그림 6. 증착온도에 따른 CaF₂ 박막의 표면 SEM 사진

그림 6은 열처리온도에 따른 CaF₂ 박막의 표면 SEM

사진이다. 기판의 온도가 증가함에 따라 박막의 표면은 매끄러워지는 경향을 보이고 있으며 결정립의 크기는 감소하며 치밀한 결정립 구조가 증가하였다. 성장온도 100°C 이하의 온도에서 증착된 시료의 결정립 크기는 200°C 이상의 온도에서 증착된 시료의 결정립 크기가 큰 이유는 저온에 초기 핵생성 밀도가 고온의 핵생성 밀도보다 크기 때문에 큰 결정립들이 성장할 수 있었으며 높은 온도에서는 많은 핵자(nuclei)가 초기 결정성장 시기에 생겨 비교적 적은 결정립이 성장한 것이라 사료된다. 또한 높은 증착온도를 가진 시료의 경우 균일하고 치밀한 박막이 형성될 수 있었다. SEM 분석과 동시에 행해진 EDX조성 분석으로부터 Ca/F의 비가 약 90/10으로 각각의 시료에서 동일한 값으로 조사되었다.

3. 결 론

A-Si:H TFT 절연막 용용을 위한 CaF₂ 박막은 열기상 증착법으로 증착된 CaF₂ 박막은 MIS 소자를 제작하여 증착온도에 따른 전기적 구조적 특성을 평가하였으며 본 연구의 결과로부터 MIS 소자의 유전상수는 bulk의 유전상수 6.8과 거의 일치하며 박막내부의 trap과 이온에 의해 야기된 전하주입형 C-V특성을 가지고 있었다. D_{it} 특성은 온도와 무관하게 $1.8 \sim 2.6 \times 10^{11} \text{ cm}^{-1} \text{ eV}^{-1}$ 의 기준의 산화막보다 낮은 값을 가지고 있었다. J-E 특성으로부터 증착온도가 증가함에 따라 얻은 E_{br}은 1.7MV/cm의 값을 가지며 우수한 MIS diode 특성을 보였다. 구조적으로는 실온에서는 (200)면의 우선배향을 하며 온도가 증가함에 따라 (111)면 배향이 우선하며 높은 온도에서는 단결정 CaF₂ 박막성장이 예상되었다. 이로부터 구한 격자상수는 Si의 격자상수와 유사하였으며 격자부정합도 6%이하였다. SEM 분석으로부터 박막의 표면은 증착온도가 증가함에 따라 결정립 크기는 감소하였으나 박막이 균일도가 증가하고 치밀한 박막을 얻을 수 있었다.

[Acknowledgement]

본 연구는 통상산업부 선도기술개발사업(G7) 과제의 지원으로 연구되었습니다.

[참 고 문 헌]

- P. G. McMullin and S. Sinharoy, "A comparative of the electrical properties of epitaxial fluorides", J. V Technol., Vol. 3, A6, p1367-1371, 1988.
- Tanemasa Asano, Hiroshi Ishiwara and Noriyuki "Heteroepitaxial Growth of Group-IIa-Fluoride Films Substrate", Jpn. J. Appl. Phys., Vol. 22, No. 10, p1 1983.
- S. Sinharoy, "Fluoride/Semiconductor and Semicon Fluoride/Semiconductor Heteroepitaxial structure rese Review", Thin Solid Films, Vol. 187, p231-243, 1990.
- W. Kern and D. A. Puotinen, "Cleaning Solution on Hydrogen peroxide for use in Semiconductor Techn , RCA Review, p187, 1970.
- D. B. Cuttriss, Bell Syst. Tech. J., Vol 40, p509.
- Tadahiko Hirai, Kazuhiro Teramoto, Takeharu Takaaki Goto and Yasuo Tarui, "Formation of M Ferroelectric/Insulator/Semiconductor Structure", Jpn. Phys., Vol 33, p5219-5222, 1994.
- S. M. Sze, "Physics of Semiconductor Devices", J Sons. Second edition, New York, 1981.
- B. D. Cullity, "Elements of X-ray Diffraction", edition, Addision wesley, p365-367, 1978.